

東海大学	正員	星田義治
東海大学	正員	市川勉
東海大学	学生員	○前原弘光

1. 考え方

地下水の帶水層に設けられた井戸から揚水する場合、オヤ桿の内外の水面が不連続になることは、オヤロスとして以前から知られていた。そして、この量を定量的に評価したものに野満、鳴等の研究がある。野満(1934)は鉛直流を考慮した井戸への定常地下水水流を解いてオヤロスを求めている。鳴(1965)はオヤ桿の抵抗を線形抵抗として運動方程式を作り、この影響を考慮した井戸への非定常地下水水流の線形解を得ている。

著者らは、オヤ桿の抵抗を乱流型として、運動方程式を作り、この式を考慮した井戸への非定常地下水水流の非線形解(数値解)を得た。そして、この解を砂モデルによって検証した。

2. 理論

図・1において、井戸の水位 h_w 、オヤ桿外周の水位 h_s 、任意地点の水位 h 、一定揚水量 Q_o 、井戸の半径 r_w 、井戸の内外の水位差の生じた部分からのしみ出し量 Q_1 、 h_w の圧向へのしみ出し量 Q_2 とする。ここで、基礎方程式として次のようなものを考える。オヤ桿のストレーナー様に連続的に分布していると仮定すると、井戸の抵抗を考慮した運動方程式は次のようになる。

$$Q_S = Q_1 + Q_2 = 2\pi k' \sqrt{h_s - h_w} \cdot \frac{2h_s + h_w}{3} \quad \dots (1)$$

$$\text{ただし } k' = \sqrt{\frac{2g}{2f}} \text{ とする。}$$

ここで、オヤ桿の厚さは無視出来るものとし、 $Q_{r=r_w} = Q_S$ とした。

図・1 不定地下水

帶水層内の基礎式は、均質等方で準一様流の仮定が成立つすれば次のようになる。

$$\frac{\partial h}{\partial t} = \frac{k}{\beta} \frac{1}{r} \frac{\partial}{\partial r} (r h \frac{\partial h}{\partial r}) \quad \dots (2)$$

ここで、 k :透水係数、 β :有効空隙率とする。

初期および境界条件は次のようにおく。

$$\left. \begin{array}{l} t \leq 0 \quad h = h_w = h_s = H, \quad Q_o = 0 \\ t > 0 \quad Q_o = \text{一定汲み出し量} \end{array} \right. \quad \left. \begin{array}{l} r \rightarrow \infty \quad h = H \\ r = r_w, \quad (A_w - A_p) \frac{dh_w}{dt} = Q_S - Q_o \end{array} \right\} \quad \dots (3)$$

式(3)の中の境界条件 $r = r_w$ における式は、井戸にかける連続条件式である。また、 A_w, A_p ; 井戸および揚水管の断面積である。次のようにおいて無次元化する。

$$g = \frac{h}{H}, \quad g_w = \frac{h_w}{H}, \quad g_s = \frac{h_s}{H}, \quad x = \frac{r}{r_w}, \quad \tau = \frac{r_w \cdot K'}{k H^2}, \quad Z_S = \frac{Q_S}{2\pi k H^2}, \quad Z_o = \frac{Q_o}{2\pi k H^2} \quad \dots (4)$$

式(4)を用いると、式(1), (2), (3)は次のよう無次元式となる

$$Z_S = \alpha \sqrt{g_s - g_w} - \frac{2g_s + g_w}{3} \quad \dots (5)$$

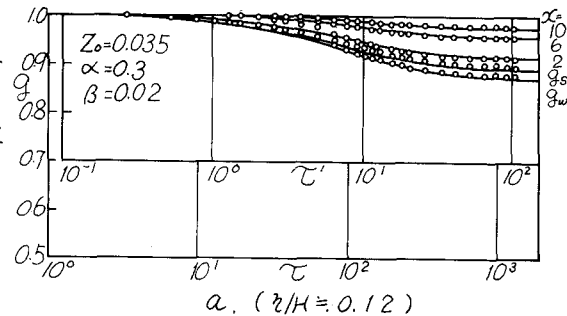
$$\frac{\partial g}{\partial \tau} = \frac{1}{x} \frac{\partial}{\partial x} (x g \frac{\partial g}{\partial x}) \quad \dots (6)$$

$$\left. \begin{array}{l} \tau \leq 0, \quad g = g_w = g_s = 1, \quad Z_o = 0 \\ \tau > 0, \quad Z_o = \text{一定} \\ x \rightarrow \infty, \quad g = 1 \\ x = 1 \quad \frac{1}{2\beta} \frac{dg_w}{d\tau} = Z_S - Z_o \end{array} \right\} \quad \dots (7)$$

ここに、 $\beta = \beta / (1 - Ap/Aw)$ である。

式(6)は非線形であるので、数値計算に便利なように $y = x/\tau$ なる変数変換し、境界条件を固定するため $\zeta = y/y_0$ とし、さらに $\bar{y} = \zeta y \frac{\partial \zeta}{\partial \tau}$ とおくと次のようになる。

$$\begin{aligned}\frac{dy}{d\tau} &= \frac{\bar{y}}{\zeta \bar{y}} \\ \frac{d\bar{y}}{d\tau} &= -\frac{y_0^2 \zeta \bar{y}}{2 \bar{y}}\end{aligned}\quad \left. \right\} \quad \text{----- (8)}$$



3. 数値解および実験

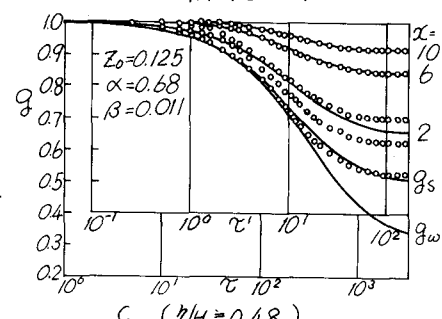
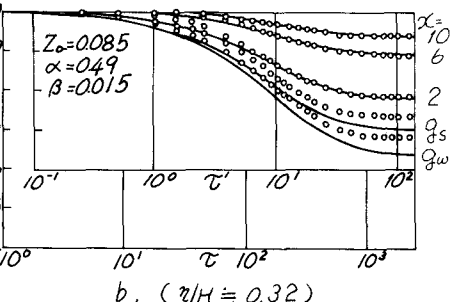
数値計算は、 $Z_0, y_0, \beta, Aw, Ap, \alpha$ を与えて、Runge-Kutta 法で行なった。この結果を検証するため $H = 26.3\text{cm}, R = 200\text{cm}$, $H_w = 10\text{cm}$ の扇形（円形の $1/4$ ）水槽による砂モルタル（平均粒径 0.64mm , 透水係数 1.49 ）実験を行なった。その一例を 図・2.a, b, c に示す。ここに、 ζ は揚水量における最大水位 降下量である。

図・2.a, b, c により透水係数および有効空隙率を算定すると表・1 のようになる。図・2 の a, b, c に示されている ζ の値は、実験より求めたものである。この無次元のストレーナの抵抗係数 ζ については、実験を積み重ねた後で報告するつもりである。表・1 で求めた β と計算に用いた β が大体一致していることは、 β の算定について、より信頗性が高まったと思われる。

4. あとがき

以上をまとめると次のことが云える

- 1). 井戸枠の抵抗を考慮した解により、井戸口の大きさを定量的に把握できる。
- 2). 井戸内の水位降下が 20cm 位までは、理論曲線と実験曲線が殆んど一致する。
- 3). 井戸内の水位降下が大きくなると、井戸枠の抵抗を考慮した式を解いても、理論値と実験値が次第に離れてくる。



図・2 ζ ~ τ 曲線

表・1 α および β の値

図番号	実験番号	R (cm/sec)	β (%)	定常解で求 めた R (cm/sec)
図・2-a	No.3-2	0.25	2.0	0.23
図・2-b	No.3-1	0.24	1.4	0.25
図・2-c	No.3-3	0.23	1.2	0.26

この原因はいろいろあると思われるが、その中で大きな原因の一つに、準一様流の仮定を用いた基礎式がある。井戸内の水位降下が大きくなると、井戸から近い所では、鉛直方向の流れが次第に大きくなり、準一様流の仮定は成立しなくなる。したがって、鉛直流を考慮した解を求めて、実験値とは較してみる必要がある。

参考文献

- 1). 星田、瀬野、市川、前原：“井戸における連続条件を考慮した揚水時の非定常解” 第12回土質工学会
- 2). 鳩裕之：“井戸枠の抵抗を考慮した場合の地下水の非定常運動についての研究” 土木学会第20回年次学術講演会
- 3). TakaHaru Nomitsu: "An Advanced in the Theory of Wells" (I. steady state), 地球物理学 Vol.12, No.2, P159~171 (1985)